

الله  
الرَّحْمَنُ الرَّحِيمُ  
بِسْمِ اللَّهِ الرَّحْمَنِ الرَّحِيمِ



## دانشگاه تربیت مدرس

دانشکده فنی و مهندسی

### پایان نامه کارشناسی ارشد رشته مهندسی هوافضا - ایروودینامیک

عنوان:

تحلیل ایروالاستیک ایرفویل دو درجه آزادی در جریان ما فوق صوت با استفاده از تئوری پیستون

دانشجو:

فرید حسین زاده اصفهانی

استاد راهنما:

دکتر بهزاد قدیری دهکردی

استاد مشاور:

دکتر میثم محمدی امین

**تقدیم به :**

**پدر فداکارم**

**و**

**مادر عزیزم**

**و**

**شمس مهر بانم**

## تقدیر و تشکر

با سپاس و قدردانی فراوان از استاد ارجمند جناب آفای دکتر بهزاد قدیری دهکردی که در مقطع کارشناسی ارشد توفیق شاگردی ایشان را داشتم و در تهیه این پایان نامه نیز به عنوان استاد راهنمای هدایت و راهنمایی نمودند. در اینجا برخود لازم می‌دانم که از دکتر میثم محمدی امین تشکر ویژه‌ای نمایم چرا که بحق وجود ایشان سبب تقویت دیدگاه و روحیه کاربردی کردن علم در اینجانب گردید.

همچنین از دوستان و همکاران محترم جناب آقایان دکتر اصغر نجفی، مهندس حمیدرضا زارع، مهندس حمید موسی زاده، مهندس محمد ابراهیمی مهر، مهندس سعید جعفری پناه، مهندس سعید خضر پور، مهندس اسماعیل سلیمانی پور، مهندس ابوالفضل لوایی و محمدرضا نجاتی کمال تشکر را دارم.



بسم الله الرحمن الرحيم

## تاییدیه اعضای هیات داوران حاضر در جلسه دفاع از پایان نامه

آقای فرید حسین زاده اصفهانی پایان نامه ۶ واحدی خود را با عنوان تحلیل  
ایروالاستیک ایرفویل با دو درجه آزادی در جریان ماقوّق صوت با استفاده از  
تئوری پیستون در تاریخ ۱۳۹۲/۱۱/۸ ارائه کردند.

اعضای هیات داوران نسخه نهایی این پایان نامه را از نظر فرم و محترماً تایید کرده و  
پذیرش آنرا برای تکمیل درجه کارشناسی ارشد مهندسی مکانیک - هوافضا پیشنهاد می  
کنند.

عضو هیات داوران	نام و نام خانوادگی	رتیبه علمی	امض
استاد راهنمای	دکتر بهزاد قدیری دهکردی	استادیار	
استاد مشاور	دکتر میثم محمدی امین	استادیار	
استاد ناظر	دکتر سعید کریمانی علی آبادی	استادیار	۱۳۹۲/۱۱/۸
استاد ناظر	دکتر محمود مانی	استاد	
مدیر گروه (یا نماینده گروه تخصصی)	دکتر سعید کریمانی علی آبادی	استادیار	۱۳۹۲/۱۱/۸

## دستورالعمل حق مالکیت مادی و معنوی در مورد نتایج پژوهش‌های علمی دانشگاه تربیت مدرس

مقدمه: با عنایت به سیاست‌های پژوهشی دانشگاه در راستای تحقق عدالت و کرامت انسانها که لازمه شکوفایی علمی و فنی است و رعایت حقوق مادی و معنوی دانشگاه و پژوهشگران، لازم است اعضا هیات علمی، دانشجویان، دانش آموختگان و دیگر همکاران طرح، در مورد نتایج پژوهش‌های علمی که تحت عنوانین پایان‌نامه، رساله و طرحهای تحقیقاتی که با هماهنگی دانشگاه انجام شده است، موارد ذیل را رعایت نمایند:

ماده ۱- حقوق مادی و معنوی پایان نامه ها / رساله‌های مصوب دانشگاه متعلق به دانشگاه است و هرگونه بهره‌برداری از آن باید با ذکر نام دانشگاه و رعایت آیین‌نامه‌ها و دستورالعمل‌های مصوب دانشگاه باشد.

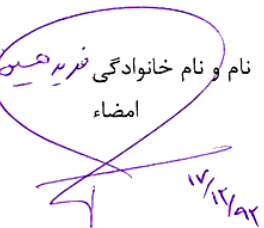
ماده ۲- انتشار مقاله یا مقالات مستخرج از پایان نامه / رساله به صورت چاپ در نشریات علمی و یا ارائه در مجتمع علمی باید به نام دانشگاه بوده و استاد راهنما مسئول مکاتبات مقاله باشد.

تبصره: در مقالاتی که پس از دانش آموختگی بصورت ترکیبی از اطلاعات جدید و نتایج حاصل از پایان نامه / رساله نیز منتشر می‌شود نیز باید نام دانشگاه درج شود.

ماده ۳- انتشار کتاب حاصل از نتایج پایان نامه / رساله و تمامی طرحهای تحقیقاتی دانشگاه باید با مجوز کتبی صادره از طریق حوزه پژوهشی دانشگاه و بر اساس آیین نامه‌های مصوب انجام می‌شود.

ماده ۴- ثبت اختراع و تدوین دانش فنی و یا ارائه در جشنواره‌های ملی، منطقه‌ای و بین‌المللی که حاصل نتایج مستخرج از پایان نامه / رساله و تمامی طرح‌های تحقیقاتی دانشگاه باید با هماهنگی استاد راهنما یا مجری طرح از طریق حوزه پژوهشی دانشگاه انجام گیرد.

ماده ۵- این دستورالعمل در ۵ ماده و یک تبصره در تاریخ ۱۳۸۴/۴/۲۵ در شورای پژوهشی دانشگاه به تصویب رسیده و از تاریخ تصویب لازم الاجرا است و هرگونه تخلف از مفاد این دستورالعمل، از طریق مراجع قانونی قابل پیگیری می‌شود.

نام و نام خانوادگی فرید حسینزاده  
امضاء  
  
۱۷/۱۲/۹۲

## آیین نامه چاپ پایان نامه (رساله) های دانشجویان دانشگاه تربیت مدرس

نظر به اینکه چاپ و انتشار پایان نامه (رساله) های تحصیلی دانشجویان دانشگاه تربیت مدرس، مبین بخشی از فعالیتهای علمی - پژوهشی دانشگاه است بنابراین به منظور آگاهی و رعایت حقوق دانشگاه، دانش آموختگان این دانشگاه نسبت به رعایت موارد ذیل متعهد می شوند:

ماده ۱: در صورت اقدام به چاپ پایان نامه (رساله) خود، مراتب را قبل از طور کتبی به «دفتر نشر آثار علمی» دانشگاه اطلاع دهد.

ماده ۲: در صفحه سوم کتاب (پس از برگ شناسنامه) عبارت ذیل را چاپ کند:

«کتاب حاضر، حاصل پایان نامه کارشناسی ارشد نگارنده در رشته مهندسی هوافضا است که در سال ۱۳۹۲ در دانشکده فنی و مهندسی دانشگاه تربیت مدرس به راهنمایی جناب آقای دکتر بهزاد قدیری از آن دفاع شده است.»

ماده ۳: به منظور جبران بخشی از هزینه های انتشارات دانشگاه، تعداد یک درصد شمارگان کتاب (در هر نوبت چاپ) را به «دفتر نشر آثار علمی» دانشگاه اهدا کند. دانشگاه می تواند مازاد نیاز خود را به نفع مرکز نشر در معرض فروش قرار دهد.

ماده ۴: در صورت عدم رعایت ماده ۳، ۵۰٪ بهای شمارگان چاپ شده را به عنوان خسارت به دانشگاه تربیت مدرس، تأدیه کند.

ماده ۵: دانشجو تعهد و قبول می کند در صورت خودداری از پرداخت بهای خسارت، دانشگاه می تواند خسارت مذکور را از طریق مراجع قضایی مطالبه و وصول کند؛ به علاوه به دانشگاه حق می دهد به منظور استیفای حقوق خود، از طریق دادگاه، معادل وجه مذکور در ماده ۴ را از محل توقیف کتابهای عرضه شده نگارنده برای فروش، تامین نماید.

ماده ۶: اینجانب: فرید حسین زاده اصفهانی      دانشجوی رشته: مهندسی هوافضا مقطع: کارشناسی ارشد تعهد فوق وضمانت اجرایی آن را قبول کرده، به آن ملتزم می شوم

نام و نام خانوادگی: **فرید حسین زاده اصفهانی**  
تاریخ و امضا:  
**۱۷/۱۲/۹۲**

## چکیده

در این پایان نامه ناپایداری ایرفویل دو درجه آزادی در جریان مافوق صوت بررسی می گردد. ابتدا مدل ایرودینامیکی پیستون مرتبه سوم با صرفنظر از ضخامت ایرفویل در حوزه زمان معرفی گردیده و سپس بر مبنای آن معادلات حاکم در این حوزه استخراج شده است. در ادامه به پاسخ دینامیکی ایرفویل با اثر غیر خطی سازه‌ای درجه سه با استفاده از روش مقیاس‌های زمانی چندگانه که از جمله روش‌های اغتشاشات تکین می باشد پرداخته شده است و پدیده دوشاخه‌ای شدن برای اعداد ماخ مختلف بررسی شده است. نوسانات سیکل محدود در سرعت‌های بالاتر از سرعت فلاتر خطی با اثر غیر خطی سازه‌ای درجه سه رخ می دهند. فرکانس و دامنه این نوسانات با استفاده از روش مقیاس‌های زمانی چندگانه برای چند حالت مختلف بدست آمده اند. نتایج حاصل با استفاده از نتایج عددی روش رانگ کوتا مورد مقایسه قرار گرفته‌اند. این مقایسه نشان دهنده تطابق مناسب بین نتایج حاصل از روش تحلیلی و عددی برای تحلیل نوسان سیکل محدود ایرفویل می باشد.

واژه‌های کلیدی : ایروالاستیستیت - اثر غیرخطی سازه‌ای درجه سه - روش مقیاس زمانی چندگانه - روش رانگ کوتا- دوشاخه‌ای شدن - نوسانات سیکل محدود.

## فهرست مطالب

صفحه

عنوان

### فصل اول: مقدمه‌ای بر ایروالاستیسیتیه غیرخطی

۱۱.....	۱ - مقدمه
۱۳.....	۲-۱ تعریف ایروالاستیسیتیه .....
۱۵.....	۳-۱ پدیده های مهم در ایروالاستیسیتیه .....
۱۸.....	۴-۱ اثرات غیرخطی در ایروالاستیسیتیه .....
۱۹.....	۵- تعریف ایروالاستیسیتیه غیر خطی .....
۲۰.....	۶-۱ رفتار ایروالاستیک غیرخطی عمومی .....
۲۴.....	۷-۱ اثرات غیرخطی سازه ای .....
۳۶.....	۸-۱ تعریف مسئله و هدف تحقیق .....

### فصل دوم: مروری بر مطالعات پیشین

۴۱ .....	۱-۲ پیشینه پژوهش .....
۴۲.....	۱-۱ تئوری پیستون .....
۴۵.....	۲-۱-۲ ایروالاستیسیتیه غیر خطی در جریان مافق صوت .....
۴۷.....	۳-۱-۲ روش اغتشاشات تکین .....

### فصل سوم : معادلات حاکم

۵۰.....	۱-۳ معادلات حاکم بر ایرودینامیک مافق صوت دو بعدی .....
۵۴.....	۲-۳ معرفی الگوی سازه .....
۵۴.....	۳-۳ معادلات لآگرانز .....
۵۵.....	۴-۳ معادلات حاکم بر ایروالاستیسیتیه مقطع دو بعدی .....
۵۷.....	۱-۴-۳ مدل غیر خطی سازه‌ای درجه سه .....

### فصل چهارم : روش حل معادلات کوپل ایروالاستیک

۵۷ .....	۱-۴ محاسبه سرعت فلاتر .....
۵۸ .....	۲-۴ معادلات حاکم بی بعد شده در حوزه زمان با مدل ایرودینامیکی پیستون غیرخطی .....
۶۰ .....	۳-۴ روش راث .....
۶۳ .....	۴-۴ محاسبه سرعت ناپایداری با استفاده از دو شاخه ای شدن هاپ .....
۶۴ .....	۵-۴ دوشاخه ای شدن .....
۶۷ .....	۶-۴ دوشاخه ای شدن هاپ .....
۶۸ .....	۱-۶-۴ تئوری هاپ .....
۶۹ .....	۲-۶-۴ انواع دو شاخه ای شدن هاپ .....
۷۰ .....	۷-۴ روش مقیاس های چندگانه زمانی .....

۸-۴ روش عددی رانگ کوتا ..... ۷۸

### فصل پنجم : نتایج و بحث

۱-۵ مقدمه ..... ۸۳
۲-۵ بررسی پدیده دوشاخه ای شدن ..... ۸۳
۳-۵ مقایسه حل عددی و تحلیلی ..... ۱۰۵
۴-۵ بررسی اثر شرایط اولیه بر روی نتایج عددی ..... ۱۰۶
۵-۵ اعتبار سنجی نتایج عددی ..... ۱۰۸
۶-۵ مطالعه پارامتری ..... ۱۰۵

### فصل ششم : نتیجه گیری

۱-۶ جمع بندی تحقیق ..... ۱۱۳
۲-۶ دستاوردها و محدودیت ها ..... ۱۱۴
۳-۶ پیشنهادات ..... ۱۱۶

### فهرست مراجع

## فهرست علائم و نشانه ها

نشانه	عنوان
$\alpha$	زاویه سطح نسبت به زاویه جریان
$h$	تغییر مکان عمودی ایرفویل
$c$	طول وتر ایرفویل
$x$	بردار حالت
$\dot{x}$	مشتق بردار حالت
$L$	نیروی بالابر
$M$	ممان پیچشی
$b$	نصف طول وتر ایرفویل
$v$	سرعت جریان هوا
$\rho$	چگالی هوا
$\omega$	فرکانس ارتعاشات ایرفویل
$\Delta p$	اختلاف فشار بین سطح بالایی و پایینی ایرفویل
$I_\alpha$	ممان اینرسی ایرفویل حول محور الاستیک
$s$	ممان استاتیکی ایرفویل حول محور الاستیک
$c_h$	ضریب میرایی ایرفویل در برابر حرکت عمودی
$c_\alpha$	ضریب میرایی ایرفویل در برابر حرکت پیچشی
$x_\alpha b$	فاصله مرکز جرم ایرفویل از محور الاستیک
$\xi$	تغییر مکان عمودی بی بعد شده ایرفویل
$\tau$	زمان بدون بعد
$\omega_\alpha$	فرکانس ارتعاشات آزاد در برابر حرکت پیچشی
$\omega_h$	فرکانس ارتعاشات آزاد در برابر حرکت عمودی
$v_f$	سرعت فلاتر
$\gamma$	نسبت گرمایی ویژه
$\varphi$	تابع پتانسیل
$M_\infty$	عدد ماخ
$KE$	انرژی جنبشی
$q$	فشار دینامیکی
$k_\alpha$	سختی پیچشی سازه
$k_h$	سختی خمشی سازه
$\sigma$	نقطه ناپایداری
$\lambda$	ضریب تراکم پذیری

$lco$	نوسانات سیکل محدود
$q_i$	مختصات تعمیم یافته
$W_{NC}$	کار ناشی از نیروهای غیر پایستار
$Z$	عنوان جایه جایی سطح الاستیک
$J_0$	تابع بسل نوع اول از مرتبه صفر
$u_{CG}$	سرعت مرکز جرم
$M$	ماتریس جرم
$C$	ماتریس میرایی
$K$	ماتریس سختی
$\bar{\omega}$	نسبت فرکانس طبیعی
$r_\alpha$	شعاع ژیراسیون بدون بعد
$\zeta_h$	استهلاک لزج به ترتیب خمثی
$\zeta_\alpha$	استهلاک لزج به ترتیب پیچشی
$\mu$	نسبت جرم ایرفویل به هوا

## فهرست جداول

صفحه

عنوان

---

جدول (۱-۲) تنظیمات فلپ در آزمایش لی و ترون.....	۳۱
جدول (۱-۴) مقادیر پارامترهای بی بعد.....	۵۹
جدول (۱-۵) مقادیر دامنه نوسانات در عدد ماخ ۵ با استفاده از روش عددی.....	۸۴
جدول (۲-۵) مقادیر فرکانس ناپایداری، فرکانس و دوره تناوب سیکل محدود برای محدودهای از اعداد ماخ.....	۸۵
جدول (۳-۵) مقایسه سرعت ناپایداری با استفاده از روش راث و هاپ.....	۱۱۱

## فهرست شکل ها

### صفحه

### عنوان

شکل (۱-۱) شماتیک دانش چندوجهی ایروالاستیسیته و پدیده های مهم آن ..... ۱۴	
شکل (۲-۱) شماتیک پاسخ نوسان سیکل محدود مخرب و غیرمخرب ..... ۲۲	
شکل (۳-۱) منحنی نیرو در برابر جایجایی برای (الف) فنر سخت شونده کیوبیک، (ب) فنر نرم شونده کیوبیک ..... ۲۶	
شکل (۴-۱) منحنی نیرو در برابر جایجایی برای (الف) نقطه تخت بدون پیش بار، (ب) فنر دو خطی معمولی ..... ۲۷	
شکل (۵-۱) ممان مفصل شهپر یک گلایدر در برابر زاویه مفصل ..... ۲۸	
شکل (۶-۱) شماتیک یک سیستم فنر - باریکه با پیش - کشش دیاگرام نیرو - جایجایی آن ..... ۲۹	
شکل (۷-۱) تصویر هوایپیما CF-18 و شماتیک محل تا شدن بال و مفاصل فلپ لبه حمله روی بال آن ..... ۳۰	
شکل (۸-۱) ممان در برابر دوران مفصل تاکننده بال هوایپیما CF-18 ..... ۳۰	
شکل (۹-۱) ممان در برابر دوران فلپ لبه حمله بال هوایپیما CF-18 ..... ۳۱	
شکل (۱۰-۱) سختی معادل بال - تاشو در برابر نسبت دامنه در تنظیمات فلپ - شهپر ..... ۳۲	
شکل (۱۱-۱) شماتیک نیرو در برابر سرعت برای اثر غیرخطی اصطکاک جامد (الف) ایده آل، (ب) عملی ..... ۳۳	
شکل (۱۲-۱) نمادگذاری مورد استفاده در اثر غیرخطی هیسترسیس ..... ۳۳	
شکل (۱۳-۱) نمای شماتیک سیستم مکانیکی هم ترازی مخازن زیر بال پسگراشونده ..... ۳۵	
شکل (۱۴-۱) ایده آل سازی سیستم شکل (۱۲-۲) برای حرکت گشت بال و مخزن ..... ۳۵	
شکل (۱۵-۱) منحنی هیسترسیس اندازه گیری شده انحراف های گشت مخزن نزدیک بدنه ..... ۳۶	
شکل (۱-۳) نوسانات صفحه تخت در اثر عبور جریان متفوق صوت ..... ۴۷	
شکل (۲-۳) سرعت القایی در داخل یک پیستون فرضی ..... ۴۸	
شکل (۳-۳) مدل برای حرکت معادل پیستون فرضی ..... ۵۰	
شکل (۴-۳) نمای شماتیک از مقطع بال با مدل جرم و فنر ..... ۵۳	
شکل (۱-۴) شماتیک مرز ناپایداری دینامیکی ..... ۶۲	
شکل (۲-۴) الگوریتم راث ..... ۶۳	
شکل (۳-۴) دیاگرام دو شاخه ای شدن ..... ۶۷	

شکل(۴-۴) مکان هندسی مقادیر ویژه با تغییر پارامتر کنترلی..... ۶۹

شکل(۵-۴) انواع دوشاخه‌ای شدن هاپ (الف: مافوق بحرانی ، ب: مادون بحرانی)..... ۷۰

شکل(۱-۵) بررسی دو شاخه ای شدن در نقطه ناپایداری با استفاده از روش های تحلیلی و عددی در شرایط زیر..... ۸۶

$$M = 3, v_f = 8.83$$

شکل(۲-۵) بررسی دو شاخه ای شدن در نقطه ناپایداری با استفاده از روش های تحلیلی و عددی در شرایط زیر..... ۸۶

$$M = 4, v_f = 10.54$$

شکل(۳-۵) بررسی دو شاخه ای شدن در سرعت ناپایداری با استفاده از روش های تحلیلی و عددی در شرایط زیر..... ۸۷

$$M = 5, v_f = 11.62$$

شکل(۴-۵) بررسی دو شاخه ای شدن در سرعت ناپایداری با استفاده از روش های تحلیلی و عددی در شرایط زیر..... ۸۷

$$M = 20, v_f = 23.3$$

شکل(۵-۵) مقایسه دامنه خمث و پیچش در شرایط نوسان سیکل محدود با روش های تحلیلی و عددی در شرایط زیر..... ۹۱

$$M = 5, \sigma = 0.1, x_0^T = 1.0e - 004 (-0.1033 - 0.9173 0.0673 0.2785)$$

شکل(۶-۵) مقایسه دامنه خمث و پیچش در شرایط نوسان سیکل محدود با روش های تحلیلی و عددی در شرایط زیر..... ۹۱

$$M = 5, \sigma = 0.2, x_0^T = 1.0e - 004 (-0.1033 - 0.9173 0.0673 0.2785)$$

شکل(۷-۵) مقایسه دامنه خمث و پیچش در شرایط نوسان سیکل محدود با روش های تحلیلی و عددی در شرایط زیر..... ۹۲

$$M = 5, \sigma = 0.3, x_0^T = 1.0e - 004 (-0.1033 - 0.9173 0.0673 0.2785)$$

شکل(۸-۵) مقایسه دامنه خمث و پیچش در شرایط نوسان سیکل محدود با روش های تحلیلی و عددی در شرایط زیر..... ۹۲

$$M = 5, \sigma = 0.5, x_0^T = 1.0e - 004 (-0.1033 - 0.9173 0.0673 0.2785)$$

شکل(۹-۵) مقایسه دامنه خمث و پیچش در شرایط نوسان سیکل محدود با روش های تحلیلی و عددی در شرایط زیر..... ۹۳

$$M = 5, \sigma = 0.7, x_0^T = 1.0e - 004 (-0.1033 - 0.9173 0.0673 0.2785)$$

شکل(۱۰-۵) مقایسه دامنه خمث و پیچش در شرایط نوسان سیکل محدود با روش های تحلیلی و عددی در شرایط زیر..... ۹۳

$$M = 5, \sigma = 0.9, x_0^T = 1.0e - 004 (-0.1033 - 0.9173 0.0673 0.2785)$$

شکل(۱۱-۵) نوسانات خمثی و پیچشی ایرفویل در سرعت  $v = 11.30$  قبل از فلاتر ..... ۹۴

$$\text{و شرایط اولیه } (0, 0.01, 0, 0)$$

شکل(۱۲-۵) نوسانات خمثی و پیچشی ایرفویل در سرعت  $v = 11.30$  قبل از فلاتر ..... ۹۵

$$\text{و شرایط اولیه } (0, 0, 0.1, 0, 0)$$

شکل(۱۳-۵) نوسانات خمثی و پیچشی ایرفویل در سرعت  $v = 11.30$  قبل از فلاتر ..... ۹۵

$$\text{و شرایط اولیه } (0.01, 0, 0, 0)$$

شکل(۱۴-۵) نوسانات خمثی و پیچشی ایرفویل در سرعت  $v = 14.40$  بعد از فلاتر ..... ۹۶

$$\text{و شرایط اولیه } (0, 0, 0.1, 0, 0)$$

شکل(۱۵-۵) نوسانات خمثی و پیچشی ایرفویل در سرعت  $v = 14.40$  بعد از فلاتر ..... ۹۶

$$\text{و شرایط اولیه } (0, 0, 0.01, 0, 0)$$

شکل(۱۶-۵) نوسانات خمثی و پیچشی ایرفویل در سرعت  $v = 14.40$  بعد از فلاتر ..... ۹۷

$$\text{و شرایط اولیه } (0, 0, 0.001, 0, 0)$$

شکل(۱۷-۵) نوسانات خمثی و پیچشی ایرفویل در سرعت  $v = 14.40$  بعد از فلاتر ..... ۹۷

$$\text{و شرایط اولیه } (0.01, 0, 0, 0)$$

- ۹۸..... شکل(۱۸-۵) مقایسه نوسانات پیچشی ایرفویل در سرعت  $v = 11.53$  بعد از فلاتر و شرایط اولیه  $(0,0.001,0,0) = x_0^T$  با مرجع [۴۳].
- ۹۸..... شکل(۱۹-۵) مقایسه نوسانات پیچشی ایرفویل در سرعت  $v = 11.53$  بعد از فلاتر و شرایط اولیه  $(0,0.1,0,0) = x_0^T$  با مرجع [۴۳].
- ۹۹..... شکل(۲۰-۵) مقایسه نمودار فاز پیچشی ایرفویل در سرعت  $v = 12.54$  بعد از فلاتر و شرایط اولیه  $(0,0.1,0,0) = x_0^T \lambda$  با مرجع [۴۳].
- ۹۹..... شکل(۲۱-۵) مقایسه نمودار فاز پیچشی ایرفویل در سرعت  $v = 12.54$  بعد از فلاتر و شرایط اولیه  $(0,0.001,0,0) = x_0^T$  با مرجع [۴۳].
- ۱۰۰..... شکل(۲۲-۵) نوسانات خمثی و پیچشی ایرفویل در سرعت  $v = 11.53$  بعد از فلاتر و شرایط اولیه  $(0,0.1,0,0) = x_0^T$  با مرجع [۴۳].
- ۱۰۰..... شکل(۲۳-۵) تغییرات نوسان خمثی و پیچشی ایرفویل در سرعت  $v = 11.53$  بعد از فلاتر و شرایط اولیه  $(0,0.1,0,0) = x_0^T$  با مرجع [۴۳].
- ۱۰۱..... شکل(۲۴-۵) نوسانات خمثی و پیچشی ایرفویل در سرعت  $v = 11.53$  بعد از فلاتر و شرایط اولیه  $(0,0.001,0,0) = x_0^T$  با مرجع [۴۳].
- ۱۰۱..... شکل(۲۵-۵) تغییرات نوسان خمثی و پیچشی ایرفویل در سرعت  $v = 11.53$  بعد از فلاتر و شرایط اولیه  $(0,0.001,0,0) = x_0^T$  با مرجع [۴۳].
- ۱۰۲..... شکل(۲۶-۵) نوسانات خمثی و پیچشی ایرفویل در سرعت  $v = 12.54$  بعد از فلاتر و شرایط اولیه  $(0,0.001,0,0) = x_0^T$  با مرجع [۴۳].
- ۱۰۲..... شکل(۲۷-۵) تغییرات نوسان خمثی و پیچشی ایرفویل در سرعت  $v = 12.54$  بعد از فلاتر و شرایط اولیه  $(0,0.001,0,0) = x_0^T$  با مرجع [۴۳].
- ۱۰۳..... شکل(۲۸-۵) نوسانات خمثی و پیچشی ایرفویل در سرعت  $v = 12.54$  بعد از فلاتر و شرایط اولیه  $(0,-0.001,0,0) = x_0^T$  با مرجع [۴۳].
- ۱۰۳..... شکل(۲۹-۵) تغییرات نوسان خمثی و پیچشی ایرفویل در سرعت  $v = 12.54$  بعد از فلاتر و شرایط اولیه  $(0,-0.001,0,0) = x_0^T$  با مرجع [۴۳].
- ۱۰۴..... شکل(۳۰-۵) نوسانات خمثی و پیچشی ایرفویل در سرعت  $v = 12.54$  بعد از فلاتر و شرایط اولیه  $(0,0.1,0,0) = x_0^T$  با مرجع [۴۳].
- ۱۰۴..... شکل(۳۱-۵) تغییرات نوسان خمثی و پیچشی ایرفویل در سرعت  $v = 12.54$  بعد از فلاتر و شرایط اولیه  $(0,0.1,0,0) = x_0^T$  با مرجع [۴۳].
- ۱۰۵..... شکل(۳۲-۵) نوسانات خمثی و پیچشی ایرفویل در سرعت  $v = 6$  قبل از فلاتر و شرایط اولیه  $(0,0.1,0,0) = x_0^T$  با مرجع [۴۳].
- ۱۰۵..... شکل(۳۳-۵) نوسانات خمثی و پیچشی ایرفویل در سرعت  $v = 7$  قبل از فلاتر و شرایط اولیه  $(0,0.1,0,0) = x_0^T$  با مرجع [۴۳].
- ۱۰۶..... شکل(۳۴-۵) نوسانات خمثی و پیچشی ایرفویل در سرعت  $v = 7.3$  در مرز ناپایداری و شرایط اولیه  $(0,0.001,0,0) = x_0^T$  با مرجع [۴۳].
- ۱۰۶..... شکل(۳۵-۵) تغییرات نوسان خمثی و پیچشی ایرفویل در سرعت  $v = 7.3$  در مرز ناپایداری و شرایط اولیه  $(0,0.001,0,0) = x_0^T$  با مرجع [۴۳].

- شکل(۳۶-۵) نوسانات خمثی و پیچشی ایرفویل در سرعت  $v = 7.3$  در مرز ناپایداری.....  
و شرایط اولیه( $x_0^T = (0,0,1,0,0)$ ).  
[۴۲]
- شکل(۳۷-۵) تغییرات نوسان خمثی و پیچشی ایرفویل در سرعت  $v = 7.3$  در مرز ناپایداری.....  
و شرایط اولیه( $x_0^T = (0,0,1,0,0)$ ).  
[۴۳]
- شکل(۳۸-۵) بررسی تغییر سرعت فلاتر در اثر تغییرات نسبت فرکانس.....  
۱۰۹
- شکل(۳۹-۵) بررسی تغییر سرعت فلاتر در اثر تغییرات مکان محور الاستیک از لبه حمله.....  
۱۱۰
- شکل(۴۰-۵) بررسی تغییر سرعت فلاتر در اثر تغییرات جرم هوای عبوری.....  
۱۱۰
- شکل(۴۱-۵) بررسی تغییر سرعت فلاتر در اثر تغییرات عدد ماخ.....  
۱۱۱

## **فصل اول:**

**مقدمه اي بر ايروالاستيسيون**

بیش از یک قرن از پرواز اولین هواپیمای ساخت بشر توسط برادران رایت<sup>۱</sup> می‌گذرد و در این مدت صنعت هواپیما پیشرفت‌های چشمگیری داشته است. منشأ بسیاری از این پیشرفت‌ها مطالعه علل سوانحی بوده است که وسایل پرنده با آنها روبرو شده‌اند. یکی از این موارد، سانحه‌ای بود که برای ماشین پرنده ساموئل لانگلی<sup>۲</sup> رخ داد و به همین دلیل طرح او، اولین هواپیما نام نگرفت. در سال ۱۹۰۳ و پیش از پرواز هواپیمای برادران رایت، لانگلی دوبار تلاش کرد ماشین پرنده خود را از سقف یک خانه قایقی به پرواز درآورد شکل (۱-۱). اما تلاش‌های وی بر اثر پدیده واگرایی ایروالاستیک<sup>۳</sup> ناشی از ناکافی بودن سختی پیچشی<sup>۴</sup> بال به سقوط پرنده او منجر شد [۱]. در واقع می‌توان پرنده لانگلی را اولین طرح متأثر از پدیده‌های ایروالاستیک<sup>۵</sup> دانست. شاید همین موفقیت هواپیمای دوباله<sup>۶</sup> برادران رایت و سقوط پرنده تکبال لانگلی دلیل اصلی تمایل شدید به هواپیماهای دوباله در سال‌های آغازین عصر پرواز بوده است [۲]. علت ظهرور پدیده ایروالاستیک در هواپیماهای این دوره حتی در سرعت‌های کم، منعطف بودن سازه این هواپیماها بود [۳]. در سال ۱۹۱۷ تولید اولین هواپیمای جنگی تکباله<sup>۷</sup> آغاز شد ولی این نوع هواپیماها تا اواسط دهه ۱۹۳۰ که پیکربندی سازه‌ای فلزی با سختی پیچشی کافی برای هواپیماهای تکبال وارد شدند، بازدهی خوبی نداشتند [۱]. در حقیقت اشکالات، ناشی از عدم شناخت و تحلیل درست از رفتار ایروالاستیک وسایل پرنده بود. مسایل ایروالاستیسیته<sup>۸</sup> تا قبل از جنگ جهانی دوم چندان مورد توجه قرار نگرفت. در آن زمان سرعت هواپیماها بسیار کم بود و انعطاف پذیری هواپیما با قویتر کردن سازه تا حد امکان کم اثر می‌شداما از دیاد بیش از حد وزن در اثر استفاده از قیود و تقویت کننده‌های سازه ای به صرفه نبود و همزمان تلاشها بر کاهش وزن سازه و افزایش سرعت هواپیما استوار گردید [۲].

<sup>1</sup> Wright Brothers

<sup>2</sup> Samuel Langley

<sup>3</sup> Aeroelastic divergence

<sup>4</sup> Torsional Stiffness

<sup>5</sup> Aeroelastic phenomena

<sup>6</sup> Biplane

<sup>7</sup> Monoplane

<sup>8</sup> Aeroelasticity

کاهش وزن سازه به معنی کاهش سختی و افزایش انعطاف پذیری سازه بود که در نهایت باعث شد تا مهندسان با مسایلی روبرو شوند که امروزه با نام پدیده های ایروالاستیک شناخته می شوند. سقوط بسیاری از هواپیماهای آن دوره محركی بود که مهندسان را به بررسی پدیده های ایروالاستیک تشویق کرد. سقوط تعدادی از بمب افکن های آلمانی و فرانسوی در اثر پدیده فلاتر مانند هواپیمای Handley page O/400 در جریان جنگ جهانی اول و هواپیمای فوکر D-8 در سال ۱۹۳۱ از آن جمله اند [۲]. هواپیمای D-8 به علت اجرای فوق العاده عملیات های مختلف در مرحله تولید قرار گرفت. اما تولید این هواپیمای جنگی زیاد دوام نیافت؛ زیرا در چندین مورد، بال این هواپیما حین شیرجه با سرعت بالا در هم شکست. شرکت فوکر بر روی تعدادی از بال های این هواپیما تست مقاومت استاتیک انجام داد. در آن زمان بیسپلینگوف<sup>۱</sup> دریافت که حین پرواز، زاویه حمله در نوک بال سریعتر از وسط بال افزایش می یابد که این افزایش زاویه حمله باعث پیچش بال و در هم شکستن آن در مانورهای جنگی می شود [۲]. دوره مدرن ایروالاستیسیته با طراحی و معرفی بمب افکن B-47 در اواخر دهه ۱۹۴۰ آغاز شد. در واقع تحول ایروالاستیسیته همزمان با نیاز به پیش بینی بارها و پایداری ایروالاستیک هواپیماهای حمل و نقل مدرن که دارای طرح بال بزرگ، با ضریب منظری بالا و پسگرا بودند، صورت گرفت. در واقع می توان ادعا کرد بمب افکن های B-47 و B-52 بیشترین تأثیر را بر ایروالاستیسیته داشته اند [۴]. پدیده های ایروالاستیک علاوه بر سازه های هوافضایی، سازه های دیگر را نیز دچار مشکل ساخت. در نوامبر ۱۹۴۰، پل تاکوما در آمریکا که تنها چهار ماه از ساخت آن می گذشت بر اثر ناپایداری دینامیکی ابتدا دچار نوسان شد و در نهایت پس از نیم ساعت فرو ریخت. تصویری از این سانحه در شکل (۲-۱) نشان داده شده است. سوانح مذکور و موارد بسیار دیگر که مجال ذکر آنها نیست، همگی سبب شدن مهندسان نگاه جدیتری به اثرات متقابل جریان هوا و سازه و ارتعاشات ناشی از جریان هوا داشته باشند و برای شناخت بهتر این پدیده ها پژوهش های تجربی و تئوری متعددی را انجام دهنند. به این ترتیب با این مطالعات شاخه ای جدید در علم ایجاد شد که ایروالاستیسیته نام گرفت.

<sup>۱</sup> Bisplinghoff